

لَهُ الْحَمْدُ
 لِلّٰهِ
 الْعَزِيزِ
 الْجَلِيلِ

هُوَ اللَّهُ الَّذِي لَا إِلَهَ إِلَّا هُوَ عَالَمُ الْغَيْبِ
 وَ الشَّهَادَةُ هُوَ الرَّحْمَنُ الرَّحِيمُ ﴿٤٠﴾ هُوَ
 اللَّهُ الَّذِي لَا إِلَهَ إِلَّا هُوَ الْمَلِكُ الْقُدُوسُ
 السَّلَامُ الْمُؤْمِنُ الْمُهْمِنُ الْعَزِيزُ الْجَبَارُ
 الْكَبِيرُ سُبْحَانَ اللَّهِ عَنِّي يُشْرِكُونَ
 ﴿٤١﴾ هُوَ اللَّهُ الْخَالِقُ الْبَارِيُّ الْمُصَوِّرُ لَهُ
 الْأَسْمَاءُ الْحُسْنَى يُسَبِّحُ لَهُ مَا فِي
 السَّمَاوَاتِ وَالْأَرْضِ وَهُوَ الْعَزِيزُ الْحَكِيمُ.
 (آيات آخر سوره مباركه حشر)



دانشگاه شهید بهشتی

دانشکده مهندسی هسته‌ای

پایان‌نامه دوره کارشناسی ارشد مهندسی هسته‌ای - چرخه سوخت

بررسی پارامترهای فرایندی جذب زیستی اورانیوم توسط جلیک‌های قهوه‌ای

در یک ستون بستر ثابت

مرتضی قاسمی‌ترک آباد

استاد راهنمای:

دکتر سید جابر صفری

(عضو هیئت علمی پژوهشگاه علوم و فنون هسته‌ای)

دکتر علیرضا کشتکار

(عضو هیئت علمی پژوهشگاه علوم و فنون هسته‌ای)

۱۳۸۸/۱۰/۲۰

استاد مشاور:

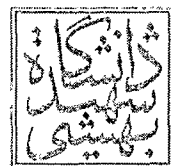
دکتر رضا دباغ

(عضو هیئت علمی پژوهشگاه علوم و فنون هسته‌ای)

میرزا احمد عیاشی
تشریح‌گر

بهار ۱۳۸۸

۱۲۸۹۲۱



نامه
شماره
پیوست

دانشگاه شهریرد بهشتی

بسم الله الرحمن الرحيم

تاریخ اولین "صورتجلسه دفاع از پایان نامه دانشجویان دوره کارشناسی ارشد"
تلفن: ۰۹۹۰۱

بازگشت به مجوز دفاع شماره ۱۳۸۸/۳/۱۷ مورخ ۲۰۰/۸۶۹
پایان نامه آقای مرتضی قاسمی ترک آباد به شماره شناسنامه: ۱۳۷۶۲ اصدره از: اردکان متولد:
۱۳۶۰ دانشجوی دوره کارشناسی ارشد پیوسته/نایپیوسته و شته مهندسی هسته‌ای (جرخد سوت)
با عنوان:

پرسنلی پارامترهای فرایندی جذب زیستی اورانیوم توسط جلبک‌های قهوه‌ای در یک ستون بستر ثابت

به راهنمایی:

- ۱- آقای دکتر سید جابر صدری
- ۲- آقای دکتر علیرضا کشتکار

طبق دعوت قبلی در تاریخ ۱۳۸۸/۳/۱۷ تشکیل گردید و بر اساس رای هیات داوری و با عنایت به
ماده ۲۰ آین نامه کارشناسی ارشد مورخ ۱۰/۲۵/۷۵ پایان نامه مذبور با نمره ۱۹/۱ و درجه علی
مورد تصویب قرار گرفت.

- ۱- استاد راهنمای: آقای دکتر سید جابر صدری
- ۲- استاد راهنمای: آقای دکتر علیرضا کشتکار
- ۳- استاد مشاور: آقای دکتر رضا دباغ
- ۴- داور داخلی و نماینده تحصیلات تکمیلی: آقای دکتر امیر سعید شیوانی
- ۵- داور خارجی: آقای دکتر محمد صمدفام

تشکر و قدردانی

بر خود لازم می‌دانم از خدمات اساتیدی که در مقاطع مختلف تحصیلی افتخار شاگردی آنها را داشته‌ام؛ به ویژه جناب آقای دکتر سید‌جابر صفری، جناب آقای دکتر علیرضا کشتکار و جناب آقای دکتر رضا دباغ صمیمانه تشکر و قدردانی کرده؛ همچنین از کلیه دوستان و همکاران عزیزم در مرکز فناوری هسته‌ای سازمان انرژی اتمی به ویژه جناب آقای مهندس صالح آشوری، جناب آقای مهندس حسین دسته‌باشی و جناب آقای مهندس رسول مرادی که در انجام این تحقیق از راهنمایی‌های خود دریغ نورزیده‌اند نیز تشکر می‌کنم.

کلیه حقوق مادی مترتب بر
نتایج مطالعات، ابتكارات و
نوآوری‌های ناشی از تحقیق موضوع
این پایان‌نامه متعلق به دانشگاه
شهید بهشتی می‌باشد.

به قام خدا

نام و نام خانوادگی: مرتضی قاسمی ترکآباد

عنوان پایان‌نامه: بررسی پارامترهای فرایندی جذب زیستی اورانیوم توسط جلبک‌های قهوه‌ای در یک ستون بستر ثابت

اساتید رهنما: دکتر سید جابر صدری، دکتر حمیرضا کشتکار، دکتر رضا دیاغ

اینجانب مرتضی قاسمی ترکآباد تهیه کننده پایان‌نامه کارشناسی ارشد حاضر، خود را ملزم به حفظ امانت‌داری و قدردانی از زحمات سایر محققین و نویسندگان بنا بر قانون Copyright می‌دانم. بدین وسیله اعلام می‌نمایم که مسئولیت کلیه مطالب درج شده با اینجانب می‌باشد و در صورت استفاده از اشکال، جداول، و مطالب سایر منابع، بلاfacile مرجع آن ذکر شده و سایر مطالب از کار تحقیقاتی اینجانب استخراج گشته است و امانت‌داری را بصورت کامل رعایت نموده‌ام. در صورتی که خلاف این مطلب ثابت شود؛ مسئولیت کلیه عواقب قانونی با شخص اینجانب می‌باشد.

مرتضی قاسمی ترکآباد

امضاء و تاریخ



۸۸/۰۶/۱۰

تقدیم به:

پیشگاه مقدس امام دوازدهم شیعیان، صاحب الامر و العصر و الزمان، حجت بن الحسن المهدی ارواحنا لتراب مقدمه الفدا و آنان که زندگی را کلاس بندگی پروردگار می‌دانند و درس خوب زیستن را از معارف بلند و حیات‌بخش اسلام ناب محمدی می‌آموزند و خانواده‌ام که همیشه دعای خیر آنها بزرگ‌ترین پشتونه‌ام در زندگی بوده است.

امید است که این تلاشی، مرضی خداوند متعال و حضرت ولی عصر عج الله تعالی فرجه الشریف قرار گیرد.

خدایا از تو درخواست می‌کنم به حق این امام بزرگوار گشایش نزدیک را، صبوری نیکو را، پیروزی توان با عزت را، بی‌نیازی از خلائق را، دوام و استمرار در طریق هدایت را و توفیق بر آنچه تو دوست داری و رضایت تو در آن یافت.

چکیده

نام و نام خانوادگی: مرتضی قاسمی ترک آباد

عنوان پایان نامه: بررسی پارامترهای فرایندی جذب زیستی اورانیوم توسط جلبک‌های قهوه‌ای در یک ستون بستر ثابت

اساتیز راهنمای: دکتر سید جابر صفری، دکتر علیرضا کشتکار، دکتر رضا دباغ

دانشگاه: شهید بهشتی	دانشکده: مهندسی هسته‌ای
---------------------	-------------------------

رشته: مهندسی هسته‌ای	گرایش: چرخه سوخت
----------------------	------------------

درجه تحصیلی: کارشناسی ارشد	تاریخ فراغت از تحصیل: خرداد ۱۳۸۸
----------------------------	----------------------------------

کلید واژه: جذب زیستی، فلزات سنگین، اورانیوم، ستون بستر ثابت، جلبک قهوه‌ای، مدل‌سازی

این پژوهش جهت بررسی پارامترهای فرایندی جذب زیستی اورانیوم محلول در آب با استفاده از جاذب زیستی *Cystoseira indica* (گونه‌ای جلبک قهوه‌ای)، در یک ستون بستر ثابت انجام شده است. در این آزمایشات میزان جذب یوت‌های اورانیوم با استفاده از زیستوده طبیعی، پروتونه شده با HCl ۰/۱ مولار و آمایش شده با محلول ۱/۰ مولار یون کلسیم بررسی شد. بیشترین ظرفیت جذب مربوط به جاذب آمایش شده با یون کلسیم می‌باشد ($371/39 \text{ mg/g}$). همچنین در این پژوهش نشان داده شد که مکانیسم غالب در جذب زیستی اورانیوم توسط این زیستوده، تبادل یون می‌باشد. اثر ارتفاع بستر، غلظت یون‌های اورانیوم در محلول ورودی و شدت جریان محلول ورودی به ستون بر روی ظرفیت جذب ستون نیز بررسی شد. افزایش ارتفاع بستر تاثیری بر روی میزان ظرفیت جذب ستون نداشت اما با افزایش غلظت یون اورانیوم در محلول ورودی به ستون، ظرفیت جذب افزایش پیدا کرد. همچنین نتایج نشان داد که ستون جذب دارای یک شدت جریان بهینه می‌باشد. قابلیت احیاپذیری جاذب در سه سیکل جذب و دفع در دو سیستم ناپیوسته و پیوسته نیز بررسی شد. تطابق نتایج آزمایشگاهی بدست آمده برای آزمایشات بررسی اثر ارتفاع، غلظت و شدت جریان محلول ورودی با نتایج پیش‌بینی شده به کمک مدل توماس، مدل یان و مدل بلتر بررسی شد. این مدل‌ها انطباق خوبی با داده‌های آزمایشگاهی داشتند. همچنین از مدل **BDST** جهت بدست آوردن ارتباط بین زمان سرویس با ارتفاع بستر استفاده شد که این مدل نیز تطابق قابل قبولی با نتایج آزمایشگاهی داشت.

فهرست مطالب

عنوان	شماره صفحه
فهرست مطالب	یک
فهرست جدول‌ها	پنج
فهرست شکل‌ها	هشت
فهرست علایم و نشانه‌ها	سیزده
فصل ۱- مقدمه	۱
۱-۱- ضرورت تحقیق در زمینه حذف و بازیابی فلزات سنگین	۱
۲-۱- هدف از تحقیق حاضر	۲
۳-۱- ساختار گزارش	۳
فصل ۲- فناوری جذب زیستی	۵
۲-۱- فلزات سنگین	۵
۲-۱-۱- تهدید زیست محیطی	۶
۲-۲- روش‌های مرسوم حذف فلزات سنگین از محلول‌های آبی	۷
۲-۲-۱- ترسیب شیمیایی	۸
۲-۲-۲- جذب سطحی و تبادل یون	۸
۲-۲-۲-۱- جذب سطحی	۹
۲-۲-۲-۲- تبادل یون	۱۹
۲-۳-۲-۱- فرایندهای غشایی	۲۱
۲-۳-۲-۲- فرایندهای غشایی با نیروی محرکه الکتریکی	۲۱
۲-۳-۲-۲- فرایندهای غشایی با نیروی محرکه اختلاف فشار	۲۵
۴-۲-۲- تبخیر	۲۷
۵-۲-۲- مقایسه کلی روش‌های مرسوم حذف فلزات سنگین از محلول‌های آبی	۲۸
۳-۲- جذب زیستی	۳۰
۳-۲-۱- مزیت‌ها و معایب جذب زیستی	۳۲
۳-۲-۱-۱- مزایای جذب زیستی	۳۲
۳-۲-۱-۲- معایب جذب زیستی	۳۲
۳-۲-۲- مکانیسم جذب زیستی	۳۳

(یک)

۳۵	۳-۲-۳- انواع جاذب‌های زیستی
۴۱	۳-۲-۱- حذف فلزات با استفاده از جلبک‌ها
۴۶	۳-۲- تجهیزات فرایندی جذب زیستی
۴۷	۴-۲- ۱- ستون‌های بستر سیال
۴۸	۴-۲- ۲- مخازن همزن‌دار
۵۰	۴-۲- ۳- ستون‌های بستر ثابت
۵۲	۴-۲- ۱-۳- اصول جانبی ستون بستر ثابت
۵۳	۴-۲- ۲-۳- ۲- مدل‌سازی عملکرد ستون جذب
۵۴	۵-۲- پژوهش در زمینه جذب زیستی
۵۴	۵-۲- ۱- جذب زیستی در حالت ناپیوسته
۵۷	۵-۲- ۲- جذب زیستی با استفاده از ستون بستر گابت

فصل ۳- مواد و روش‌ها

۶۰	۳-۱- آماده‌سازی جاذب
۶۱	۳-۲- مواد شیمیایی
۶۱	۳-۳- ستون بستر ثابت مورد استفاده در آزمایشات
۶۳	۳-۴- شرایط انجام آزمایش
۶۴	۳-۵- تعیین غلظت اورانیوم محلول در آب
۶۸	۳-۶- مراحل انجام آزمایش
۶۸	۳-۶-۱- بررسی تاثیر انجام فرایند آزمایش کردن جاذب بر روی میزان جذب آن
۶۸	۳-۶-۲- بررسی نوع مکانیسم جذب زیستی
۶۹	۳-۶-۲-۱- بررسی تغییرات در محلول خروجی از ستون
۶۹	۳-۶-۲-۲- آنالیز طیفسنجی مادون قرمز تبدیل فوریه (FTIR)
۷۲	۳-۶-۳- آنالیز طیفسنجی فلورورسانس اشعه ایکس (XRF)
۷۳	۳-۶-۳- بررسی اثر ارتفاع بستر بر روی میزان جذب ستون
۷۳	۳-۶-۴- بررسی اثر غلظت بر روی میزان جذب ستون
۷۴	۳-۶-۵- بررسی اثر شدت جریان بر روی میزان جذب ستون
۷۴	۳-۶-۶- بررسی احیاپذیری جاذب
۷۴	۳-۶-۶-۱- آزمایشات ناپیوسته
۷۵	۳-۶-۶-۲- آزمایشات پیوسته

فصل ۴- نتایج و بحث و بررسی

۱-۴- سیستم آزمایشگاهی	۷۶
۲-۴- نتایج بدست آمده از آزمایشات و بحث و بررسی آنها	۷۹
۴-۱- بررسی تاثیر انجام فرایند آمایش کردن جاذب بر روی میزان جذب آن	۷۹
۴-۲- بررسی نوع مکانیسم جذب زیستی	۸۱
۴-۲-۱- بررسی تغییرات در محلول خروجی از ستون	۸۱
۴-۲-۲- FTIR آنالیز	۸۳
۴-۲-۳- XRF آنالیز	۸۵
۴-۲-۴- بررسی اثر احتفاظ بستر بر روی میزان جذب ستون	۸۷
۴-۲-۴- بررسی اثر حکملت بر روی میزان جذب ستون	۸۹
۴-۲-۵- بررسی اثر متعدّد جریان بر روی میزان جذب ستون	۹۱
۴-۲-۶- بررسی احیا پذیری جاذب	۹۳
۴-۲-۶-۱- آزمایشات ناپیوسته	۹۳
۴-۲-۶-۲- آزمایشات پیوسته	۹۵

فصل ۵- مدل‌سازی فرایند جذب زیستی ۹۸

۵-۱- درصد متوسط خطای	۹۸
۵-۲- مدل توماس	۹۹
۵-۲-۱- نتایج بدست آمده از مدل توماس	۹۹
۵-۳- مدل یان	۱۱۲
۵-۳-۱- نتایج بدست آمده از مدل یان	۱۱۳
۵-۴- مدل بلتر	۱۱۷
۵-۴-۱- نتایج بدست آمده از مدل بلتر	۱۱۸
۵-۵- مدل BDST	۱۲۲
۵-۵-۱- نتایج بدست آمده از مدل BDST	۱۲۲

فصل ۶- نتیجه‌گیری و پیشنهادات ۱۲۴

۶-۱- نتیجه‌گیری	۱۲۴
۶-۲- پیشنهادات	۱۲۶

پیوست ۱ - داده‌های بدست آمده از آزمایشات ۱۲۸

پیوست ۲- چکیده ۵ مقالات ۱۳۵

۱۳۸	مراجع
۱۴۳	واژه‌نامه فارسی به انگلیسی
۱۴۵	واژه‌نامه انگلیسی به فارسی

فهرست جدول‌ها

عنوان	شماره صفحه
جدول ۲-۱: مقایسه وابستگی فناوری‌های مختلف به تعدادی از پارامترهای موثر	۲۸
جدول ۲-۲: گروههای عاملی اصلی موثر در جذب زیستی	۳۵
جدول ۲-۳: ظرفیت جذب بدست آمده برای یون‌های مختلف توسط جاذب‌های زیستی با منشا قارچ	۳۸
جدول ۲-۴: ظرفیت جذب بدست آمده جرای یون‌های مختلف توسط جاذب‌های زیستی با منشا باکتری	۳۹
جدول ۲-۵: ظرفیت جذب بدست آمده برای یون‌های مختلف توسط جاذب‌های زیستی با منشا گیاهی	۴۰
جدول ۲-۶: ظرفیت جذب بدست آمده برای یون‌های مختلف توسط جاذب‌های زیستی با منشا جلبک	۴۰
جدول ۲-۷: ظرفیت جذب فلزات مختلف توسط گونه‌هایی از جلبک قهوه‌ای	۴۵
جدول ۲-۸: ظرفیت جذب اورانیوم توسط تعدادی از جاذب‌های زیستی	۵۷
جدول ۳-۱: محدوده‌های آشکارسازی عناصر توسط دستگاه ICP-MS	۶۷
جدول ۳-۲: غلظت اورانیوم در پساب صنایع هسته‌ای موجود در کشور	۷۴
جدول ۳-۱: میزان کاهش وزن جاذب بر اثر فرایند آمایش	۷۹
جدول ۳-۲: ظرفیت جذب بدست آمده برای هر پنج نوع جاذب مورد استفاده در آزمایش بررسی تاثیر انجام فرایند آمایش کردن جاذب بر روی میزان جذب آن	۷۹
جدول ۳-۳: درصد جرمی عناصر مختلف در جاذب‌های طبیعی (a)، طبیعی اشباع شده با اورانیوم (b)، پروتونه شده (c)، پروتونه شده اشباع تئدیه با اورانیوم (d)، آمایش شده با یون کلسیم در pH ۲/۵ (e)، ۴ (g) و ۹/۷ (i) و اشباع تئدیه با اورانیوم جاذب‌های آمایش شده با یون کلسیم در pH ۲/۵ (f)، ۴ (h) و ۹/۷ (j)	۸۶

(پنج)

جدول ۴-۴: نتایج بدست آمده از سه سیکل جذب و دفع در حالت ناپیوسته ۹۴
جدول ۵-۱: ظرفیت جذب بدست آمده از نتایج آزمایشگاهی به همراه پارامترهای مربوط به مدل سازی خطی توماس برای ستون‌های با ارتفاع بستر متفاوت ۱۰۴
جدول ۵-۲: ظرفیت جذب بدست آمده از نتایج آزمایشگاهی به همراه پارامترهای مربوط به مدل سازی خطی توماس برای ستون‌های با غلظت ورودی متفاوت ۱۰۴
جدول ۵-۳: ظرفیت جذب بدست آمده از نتایج آزمایشگاهی به همراه پارامترهای مربوط به مدل سازی خطی توماس برای ستون‌های با شدت جریان ورودی متفاوت ۱۰۴
جدول ۵-۴: ظرفیت جذب بدست آمده از نتایج آزمایشگاهی به همراه پارامترهای مربوط به مدل سازی غیرخطی توماس برای ستون‌های با ارتفاع بستر متفاوت ۱۰۵
جدول ۵-۵: ظرفیت جذب بدست آمده از نتایج آزمایشگاهی به همراه پارامترهای مربوط به مدل سازی غیرخطی توماس برای ستون‌های با غلظت ورودی متفاوت ۱۰۶
جدول ۵-۶: ظرفیت جذب بدست آمده از نتایج آزمایشگاهی به همراه پارامترهای مربوط به مدل سازی غیرخطی توماس برای ستون‌های با شدت جریان ورودی متفاوت ۱۰۷
جدول ۵-۷: نتایج آزمایشگاهی، مدل توماس و خطای قسبي آنها در آزمایش ستون با ارتفاع $4/5 \text{ cm}$ ۱۰۸
جدول ۵-۸: نتایج آزمایشگاهی، مدل توماس و خطای قسبي آنها در آزمایش ستون با ارتفاع $5/8 \text{ cm}$ ۱۰۹
جدول ۹-۵: پارامترهایی مدل رابطه (۴-۵) بدست آمده از روش غیرخطی، برای ستون‌های با ارتفاع بستر متفاوت در ناحیه $C/C_0 < 0.2$ ۱۱۰
جدول ۱۰-۵: نتایج آزمایشگاهی، مدل رابطه (۴-۵) و خطای نسبی آنها در آزمایش ستون با ارتفاع $4/5 \text{ cm}$ مربوط به ناحیه $C/C_0 < 0.2$ ۱۱۰
جدول ۱۱-۵: نتایج آزمایشگاهی، مدل رابطه (۴-۵) و خطای نسبی آنها در آزمایش ستون با ارتفاع $5/8 \text{ cm}$ مربوط به ناحیه $C/C_0 < 0.2$ ۱۱۱
جدول ۱۲-۵: پارامترهای مربوط به مدل یان برای ستون‌های با ارتفاع بستر متفاوت ۱۱۴

- جدول ۱۳-۵: پارامترهای مربوط به مدل یان برای ستون‌های با غلظت ورودی متفاوت ۱۱۵
- جدول ۱۴-۵: پارامترهای مربوط به مدل یان برای ستون‌های با شدت جریان ورودی متفاوت ۱۱۶
- جدول ۱۵-۵: پارامترهای مربوط به مدل بلتر برای ستون‌های با ارتفاع بستر متفاوت ۱۱۹
- جدول ۱۶-۵: پارامترهای مربوط به مدل بلتر برای ستون‌های با غلظت ورودی متفاوت ۱۲۰
- جدول ۱۷-۵: پارامترهای مربوط به مدل بلتر برای ستون‌های با شدت جریان ورودی متفاوت ۱۲۱

فهرست شکل‌ها

عنوان	شماره صفحه
شکل ۱-۲: زنجیره غذایی و اثر تجمعی فلزات سنگین ناشی از فعالیت‌های انسان	۷
شکل ۲-۲: جذب تک مرحله‌ای	۱۲
شکل ۳-۲: جذب دو مرحله‌ای با جریان متقطع	۱۳
شکل ۴-۲: جذب چند مرحله‌ای با جریان مخالف	۱۳
شکل ۵-۲: شماتیک مجاور کننده هیگینز	۱۵
شکل ۶-۲: موج جذب	۱۷
شکل ۷-۲: منحنی عبور و نحوه بدست آوردن ظرفیت جذب ستون	۱۸
شکل ۸-۲: نمودار شسترن یک بستر ثابت اشباع شده	۱۹
شکل ۹-۲: شماتیک فرایند الکترودیالیز	۲۲
شکل ۱۰-۲: شماتیک یک سیستم الکترودیالیز صنعتی	۲۳
شکل ۱۱-۲: شماتیک یک سیستم EDI	۲۴
شکل ۱۲-۲: چگونگی فرایند اسمز مستقیم و اسمز معکوس	۲۶
شکل ۱۳-۲: هزینه نمک‌زدایی از آب به صورت تابعی از غلظت نمک	۲۹
شکل ۱۴-۲: فرایند جذب زیستی	۳۳
شکل ۱۵-۲: مکانیسم جذب زیستی فلزات سنگین	۳۴
شکل ۱۶-۲: فرآیند تبدیل انواع مختلف زیتوده‌های میکروبی خام به جاذب زیستی	۳۷
شکل ۱۷-۲: تفاوت در حشکل ظاهری جلبک‌ها	۴۲
شکل ۱۸-۲: طبقه‌بندی جلبک‌های قهوه‌ای دارای اهمیت در مطالعات جذب زیستی	۴۳

(هشت)

- شکل ۱۹-۲: ساختار دیواره سلوالی در یک جلبک قهوه‌ای ۴۴
- شکل ۲۰-۲: شماتیکی از یک سیستم تصالس دهنده ستون بستر سیال ۴۸
- شکل ۲۱-۲: شماتیکی از مخازن همزد دار جریان مخالف به همراه جداسازی جامد از مایع در بین مراحل ۵۰
- شکل ۲۲-۲: شماتیکی از سیستم تماس دهنده ستون بستر ثابت ۵۱
- شکل ۲۳-۲: منحنی عبور در ستون جذب، نقطه شکست، زمان سرویس و منطقه انتقال جرم ۵۳
- شکل ۱-۳: شماتیک سیستم آزمایشگاهی مورد استفاده در آزمایشات (مخزن محلول ورودی (۱)، پمپ (۲)، نگهدارنده (۳ و ۴)، بستر جاذب (۵)، مخزن جریان خروجی (۶) و ظروف نمونه‌گیری (۷)) ۶۳
- شکل ۲-۳: شماتیک فرایندهای اصلی دستگاه ICP-MS ۶۵
- شکل ۳-۳: شماتیکی از سیستم چهار قطبی جهت جداسازی ۶۶
- شکل ۴-۱: تصویری از سیستم آزمایشگاهی مورد استفاده، شامل مخزن محلول ورودی (۱)، پمپ (۲)، ستون‌های جذب (۳ و ۴)، مخزن جریان خروجی (۵) و ظروف نمونه‌گیری (۶) ۷۷
- شکل ۴-۲: تصویر زی توده آمده شده جهت استفاده در ستون جذب ۷۸
- شکل ۴-۳: منحنی عبور بدست آمده برای ستون‌های با یک گرم جاذب طبیعی (a)، پروتونه شده با ۱/۱ HCl (b) و آمایش شده یا یون کلسیم در pHهای ۲/۵ (c)، ۴ (d) و ۹/۷ (e)، در شدت جریان ۲/۳ ml/min، غلظت ورودی ۰/۵ mmol/l و pH برابر ۴ ۸۰
- شکل ۴-۴: pH جریان خروجی نسبت به حجم محلول خروجی از ستون با جاذب پروتونه شده با ۱/۰ مولار ۸۲
- شکل ۴-۵: میزان یون کلسیم در جریان خروجی نسبت به حجم محلول خروجی از ستون با جاذب آمایش شده با یون کلسیم در pHهای ۲/۵ (a)، ۴ (b) و ۹/۷ (c) ۸۴
- شکل ۴-۶: طیف FTIR جاذب‌های طبیعی (a)، پروتونه شده (c)، آمایش شده با یون کلسیم در pHهای ۲/۵ (e)، ۴ (g) و ۹/۷ (i) و اشباع شده با اورانیوم جاذب‌های ذکر شده به ترتیب (b)، (d)، (f) و (j) ۸۴
- شکل ۴-۷: نحوه اتصال یون‌های اورانیوم به جاذب ۸۵

شکل ۴-۸: منحنی عبور بدست آمده برای ستونهای با جاذب آمایش شده با یون کلسیم در pH برابر ۴، با مقادیر ۱ ۱/۲۵ (a) و ۱/۷۵ (b) از جاذب و در شدت جریان ml/min ۲/۳ و ۰/۲۵، غلظت ورودی mol/l ۰/۲۵ و pH برابر ۴ ۸۸

شکل ۹-۴: منحنی عبور بدست آمده برای ستونهای با یک گرم جاذب آمایش شده با یون کلسیم در pH برابر ۴ در شدت جریان ml/min ۲/۳، غلظت‌های ورودی ۰/۲۵ (a)، ۰/۰۵ (b) و ۰/۶۲۵ (c) و pH برابر ۴ ۹۰

شکل ۱۰-۴: منحنی عبور بدست آمده برای ستونهای با یک گرم جاذب آمایش شده با یون کلسیم در pH برابر ۴، در شدت جریان‌های ورودی ۰/۰۵ (a)، ۰/۱۵ (b) و ۰/۴۶ (c)، غلظت ۰/۲۵ $mmol/l$ و pH برابر ۴ ۹۲

شکل ۱۱-۴: نتایج بدست آمده برای سه سیکل جذب (a، c و e) و دفع (b، d و f) متوالی، برای ستون با یک گرم جاذب آمایش شده با یون کلسیم در pH برابر ۴، که در مراحل جذب از محلول اورانیوم با غلظت mol/l ۰/۰۲۵ $mmol/l$ ، شدت جریان ml/min ۲/۳ و pH برابر ۴ و در مراحل دفع از محلول HCl ۰/۰ مولار و یا شدت جریان ml/min ۲/۳ استفاده شده است. ۹۶

شکل ۱-۵: فرم خطی مدل توماس برای ستونهای با جاذب آمایش شده با یون کلسیم در pH برابر ۴ و ارتفاع جاذب $3/3 cm$ (a)، $4/5 cm$ (b) و $5/8 cm$ (c)، محلول ورودی با غلظت mol/l ۰/۰۲۵ $mmol/l$ ، شدت جریان ml/min ۲/۳ و pH برابر ۴ و همچنین نتایج آزمایشگاهی به همراه نتایج حاصل از مدل توماس بدست آمده از روش خطی برای ستونهای با جاذب آمایش شده با یون کلسیم در pH برابر ۴ و ارتفاع جاذب $3/3 cm$ (d)، $4/5 cm$ (e) و $5/8 cm$ (f)، محلول ورودی با غلظت mol/l ۰/۰۲۵ $mmol/l$ ، شدت جریان ml/min ۲/۳ و pH برابر ۴ ۱۰۱

شکل ۲-۵: فرم خطی مدل توماس برای ستونهای با یک گرم جاذب آمایش شده با یون کلسیم در pH برابر ۴ محلول ورودی با غلظت‌های ۰/۰۵ (a)، ۰/۰۲۵ (b) و $1/125 mmol/l$ (c)، شدت جریان ml/min ۲/۳ و pH برابر ۴ و همچنین نتایج آزمایشگاهی به همراه نتایج حاصل از مدل توماس بدست آمده از روش خطی برای ستونهای با یک گرم جاذب آمایش شده با یون کلسیم در pH برابر ۴ محلول ورودی با غلظت‌های ۰/۰۵ (d)، ۰/۰۲۵ (e) و $1/125 mmol/l$ (f)، شدت جریان ml/min ۲/۳ و pH برابر ۴ ۱۰۲

شکل ۳-۵: فرم خطی مدل توماس برای ستونهای با یک گرم جاذب آمایش شده با یون کلسیم در pH برابر ۴، محلول ورودی با شدت جریان‌های $4/6 ml/min$ (a)، $2/3 ml/min$ (b) و $1/15 ml/min$ (c)، غلظت ورودی mol/l ۰/۰۲۵ و pH برابر ۴ و همچنین نتایج آزمایشگاهی به همراه نتایج حاصل از مدل توماس بدست آمده از روش خطی برای ستونهای با یک گرم جاذب آمایش شده با یون کلسیم در

pH برابر ۴، محلول ورودی با شدت جریان های $4/15$ ml/min (d)، $2/3$ ml/min (e) و $1/15$ ml/min (f)، غلظت ورودی 10^3 mmol/l و pH برابر $4/25$ ۱۰۳

شکل ۵-۴: نتایج آزمایشگاهی به همراه نتایج حاصل از مدل توماس بدست آمده از روش غیرخطی برای ستون های با جاذب آمایش شده با یون کلسیم در pH برابر ۴ و ارتفاع جاذب $3/3$ cm (a)، $4/5$ cm (b) و $5/8$ cm (c)، محلول ورودی با غلظت $1/25$ mmol/l، شدت جریان $2/3$ ml/min و pH برابر $4/25$ ۱۰۵

شکل ۵-۵: نتایج آزمایشگاهی به همراه نتایج حاصل از مدل توماس بدست آمده از روش غیرخطی برای ستون های با یک گرم جاذب آمایش شده با یون کلسیم در pH برابر ۴، محلول ورودی با غلظت های $1/5$ (a)، $0/25$ mmol/l (b) و $0/125$ mmol/l (c)، شدت جریان $2/3$ ml/min و pH برابر $4/25$ ۱۰۶

شکل ۵-۶: نتایج آزمایشگاهی به همراه نتایج حاصل از مدل توماس بدست آمده از روش غیرخطی برای ستون های با یک گرم جاذب آمایش شده با یون کلسیم در pH برابر ۴، محلول ورودی با شدت جریان های $4/6$ (a)، $2/3$ ml/min (b) و $1/15$ ml/min (c)، غلظت ورودی $0/25$ mmol/l و pH برابر $4/25$ ۱۰۷

شکل ۵-۷: نتایج آزمایشگاهی به همراه نتایج حاصل از مدل رابطه (۴-۵) بدست آمده از روش غیرخطی در ناحیه $C/C_0 < 0.2$ برای ستون های با جاذب آمایش شده با یون کلسیم در pH برابر ۴ و ارتفاع جاذب $5/8$ cm (b)، محلول ورودی با غلظت $1/25$ mmol/l، شدت جریان $2/3$ ml/min و pH برابر $4/25$ ۱۱۰

شکل ۵-۸: مقایسه بین نتایج آزمایشگاهی بدست آمده برای ستون های با جاذب آمایش شده با یون کلسیم در pH برابر ۴ و ارتفاع جاذب $4/5$ cm (a) و $5/8$ cm (b و d)، در شدت جریان $2/3$ ml/min، غلظت ورودی $0/25$ mmol/l و pH برابر $4/25$ با نتایج بدست آمده از مدل توماس با استفاده از پارامترهای بدست آمده از مدل توماس و به روش خطی (a و b) و روش غیرخطی (c و d) برای ستون با ارتفاع جاذب $3/3$ cm و شدت جریان، غلظت و pH مشابه ستون های فوق ۱۱۲

شکل ۵-۹: نتایج آزمایشگاهی به همراه نتایج حاصل از مدل یان برای ستون های با جاذب آمایش شده با یون کلسیم در pH برابر ۴ و ارتفاع جاذب $3/3$ cm (a)، $4/5$ cm (b) و $5/8$ cm (c)، محلول ورودی با غلظت $1/25$ mmol/l، شدت جریان $0/25$ ml/min و pH برابر $4/25$ ۱۱۴

شکل ۵-۱۰: نتایج آزمایشگاهی به همراه نتایج حاصل از مدل یان برای ستون های با یک گرم جاذب آمایش شده با یون کلسیم در pH برابر ۴، محلول ورودی با غلظت های $0/125$ (a)، $0/25$ (b) و $0/5$ mmol/l (c)، شدت جریان $2/3$ ml/min و pH برابر $4/25$ ۱۱۵

(یازده)

شکل ۱۱-۵: نتایج آزمایشگاهی به همراه نتایج حاصل از مدل یان برای ستون‌های با یک گرم جاذب آمایش شده با یون کلسیم در pH برابر ۴، محلول ورودی با شدت جریان‌های ۴/۶ (a)، ۲/۳ (b) و ۱۱۶ (c)، غلظت ورودی $1/15 \text{ ml/min}$ و pH برابر ۴

شکل ۱۲-۵: ارتباط بین پارامتر a و ارتفاع بستر جاذب

شکل ۱۳-۵: نتایج آزمایشگاهی به همراه نتایج حاصل از مدل بلتر برای ستون‌های با جاذب آمایش شده با یون کلسیم در pH برابر ۴ و ارتفاع جاذب ۴/۵ (a)، ۳/۳ (b) و ۵/۸ (c)، محلول ورودی با غلظت $1/25 \text{ mmol/l}$ ، شدت جریان $2/3 \text{ ml/min}$ و pH برابر ۴

شکل ۱۴-۵: نتایج آزمایشگاهی به همراه نتایج حاصل از مدل بلتر برای ستون‌های با یک گرم جاذب آمایش شده با یون کلسیم در pH برابر ۴، محلول ورودی با غلظت‌های ۰/۵ (a)، ۰/۲۵ (b) و ۱۲۰ (c)، شدت جریان $2/3 \text{ ml/min}$ و pH برابر ۴

شکل ۱۵-۵: نتایج آزمایشگاهی به همراه نتایج حاصل از مدل بلتر برای ستون‌های با یک گرم جاذب آمایش شده با یون کلسیم در pH برابر ۴، محلول ورودی با شدت جریان‌های ۴/۶ (a)، ۲/۳ (b) و ۱۲۱ (c)، غلظت ورودی $1/15 \text{ ml/min}$ و pH برابر ۴

شکل ۱۶-۵: زمان سرویس بر حسب ارتفاع بستر و تطابق خط راست با داده‌های بدست آمده از آزمایش بررسی اثر ارتفاع بستر بر میزان جذب